

ФИЗИЧЕСКАЯ ХИМИЯ

Л. С. ДЕГТИРЕВ, А. М. ГОЛУБЕНКОВА,  
член-корреспондент АН СССР [А. И. БРОДСКИЙ]

КИНЕТИКА ОБМЕНА ЭЛЕКТРОНОВ МЕЖДУ НИТРОБЕНЗОЛАМИ  
И ИХ АНИОН-РАДИКАЛАМИ

Методом э.п.р. мы изучили кинетику обмена электронов между нитробензолами и их свободными анион-радикалами. Кинетика этого обмена описана для углеводородов (<sup>1-4, 6, 10</sup>), хинонов (<sup>5-7</sup>) и некоторых других соединений (<sup>8</sup>). Найдено (<sup>7</sup>), что скорость обмена между нитробензолами и соответствующими радикал-анионами уменьшается при увеличении расщепления непарного электрона на ядре азота нитрогруппы в спектрах э.п.р.

Исследованные нами нитробензолы имели пара-заместители R = CH<sub>3</sub>, H, Cl, C<sub>6</sub>H<sub>5</sub>, COOC<sub>2</sub>H<sub>5</sub> и n-NO<sub>2</sub> — C<sub>6</sub>H<sub>4</sub>. Их анион-радикалы генерировались электрохимическим восстановлением соответствующего нитробензола в 0,001—0,002 мол/л ацетонитрильном растворе. Восстановление велось в ячейке из ртутного катода, отделенного перегородкой из пористого стекла от платинового анода и от электрода сравнения из серебряной проволочки, погруженной в раствор 0,1 мол/л перхлората серебра. Фоном служил перхлорат тетра-n-бутиламмония в концентрации 0,1 мол/л. Электрод сравнения имел потенциал 0,32 в по отношению к насыщенному водному каломельному электроду. Электролиз велся в течение 20—30 мин. при контролируемом потенциале катода, отвечающем однозначному восстановлению соответствующего нитробензола. За это время, по кулонометрическим вычислениям, почти весь нитробензол восстанавливается до анион-радикала и сила тока в ячейке уменьшалась в 10—15 раз, так что невосстановленным остатком можно было пренебречь.

После окончания электролиза раствор радикала разливали в ампулы с отростками для измерения спектров э.п.р. Предварительно в ампулы вводились определенные количества невосстановленного нитробензола, концентрация которого в ампуле в зависимости от скорости обмена задавалась в границах от 4·10<sup>-3</sup> до 0,5 мол/л. Электролиз и дальнейшие операции велись в атмосфере очищенного аргона. После заполнения ампулы запаивались под вакуумом.

Если среднее время жизни τ радикала между двумя актами обмена электронов меньше величины α сверхтонкого расщепления, то обмен вызывает уширение сигналов э.п.р. на величину  $1/\tau = \Delta w - \Delta w_0$ , равную разности в ширине сигнала на полувысоте его при наличии такого обмена и в его отсутствие (<sup>10</sup>). С другой стороны,  $\tau = 1/K_{обм}[N]$ , где [N] — концентрация присутствующей в растворе нерадикализованной формы и  $K_{обм}$  — бимолекулярная константа скорости обмена.

Непосредственное измерение уширения сигнала в условиях наших опытов неточно. Поэтому оно находилось из отношения  $S/I$  площади одной из ветвей производного сигнала к его интенсивности. Для сигнала формы линии Лоренца, которую обычно имеют органические радикалы в растворе с небольшими искажениями на крыльях, как можно показать (<sup>7</sup>)

$$\frac{S/I}{S_0/I_0} = \frac{\Delta w}{\Delta w_0},$$

где величины без индексов относятся к системам с добавкой [N] нерадикализованного вещества, а величины с индексом нуль — к системам, в которых не происходит обмена электронов между молекулой и ее анион-радикалом. Приведенные соотношения после простых преобразова-

ний (2) имеют вид

$$\frac{S/I}{S_0/I_0} = 1 + \frac{K_{\text{обм}} [N]}{\Delta \omega_0} = 1 + \frac{K_{\text{обм}} [N]}{2\pi \cdot 2,83 \cdot 10^6 \sqrt{3}/2 \cdot \Delta H_0},$$

где  $\Delta H_0$  — ширина сигнала между точками максимального наклона в эрстедах. Площадь  $S$  мы находили взвешиванием вырезанного спектра. Скорость обмена определялась по крайним линиям спектра сверхтонкого расщепления, для которых  $\Delta H_0$  находилось между 0,34 и 1,56 эрст. На рис. 1 для примера представлена линейная зависимость  $\frac{S/I}{S_0/I_0}$  от  $[N]$ , полученная нами для незамещенного нитробензола. Из ее наклона находились величины  $K_{\text{обм}}$  констант скорости обмена.

Спектры э.н.р. анион-радикалов 4-нитродифенила и метилового эфира 4-нитробензойной кислоты состоят из 9 линий, образованных триплетом от расщепления на атоме азота с дальнейшим триплетным расщеплением от двух протонов, находящихся в орто-положениях к нитрогруппе. Из-за неполного разрешения ширина линий превышала 1 эрст. Спектр 4,4'-динитродифенила состоит из квинтиплета от расщепления на двух эквивалентных атомах азота с дальнейшим квинтиплетным расщеплением от четырех кольцевых атомов водорода в орто-положении к нитрогруппам. Из-за перекрывания спектр содержит 17 линий сверхтонкого расщепления вместо 25.

Для нахождения энергии активации обмена  $E_A$  величины  $K_{\text{обм}}$  были измерены для ряда заданных температур в пределах от  $-25$  до  $+45^\circ$ . Во всех случаях  $\lg K_{\text{обм}}$  линейно зависел от  $1/T$  согласно уравнению Аррениуса.

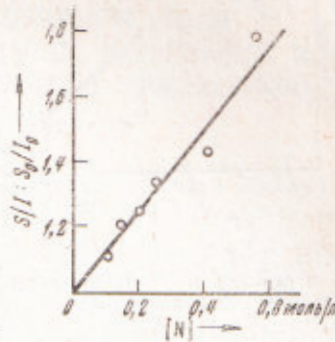


Рис. 1. Зависимость  $\frac{S/I}{S_0/I_0}$  от  $[N]$  для незамещенного нитробензола

Таблица 1

$R$ в пара- $R-C_6H_4-NO_2$	$K_{\text{обм}} \text{ л}\cdot\text{моль}^{-1}\cdot\text{сек}^{-1}$ при $25-30^\circ$	$E_A, \text{ ккал/моль}$	$A \cdot 10^{-8}$	$E_{1/2}, \text{ в}$	$a_N, \text{ эрст}$
CH <sub>3</sub>	$(4,4 \pm 1,0) \cdot 10^6$	$3,9 \pm 0,4$	3,4	-1,203	10,8
H	$(6,8 \pm 1,4) \cdot 10^6$	$4,0 \pm 0,4$	5,3	-1,147	10,4
C <sub>6</sub> H <sub>5</sub>	$(6,7 \pm 1,4) \cdot 10^7$				9,8
Cl	$(5,0 \pm 2,0) \cdot 10^7$	$3,5 \pm 0,6$	20	-1,063	9,8
COOCH <sub>3</sub>	$(1,0 \pm 0,2) \cdot 10^8$	$3,1 \pm 0,8$	17	-0,947	7,7
<i>n</i> -NO <sub>2</sub> -C <sub>6</sub> H <sub>4</sub>	$(7,3 \pm 2,0) \cdot 10^8$	$2,1 \pm 0,3$	26	-1,004 *	3,4

\* Согласно (13).

В табл. 1 приведены величины  $K_{\text{обм}}$  констант скорости обмена при постоянной температуре, заданной между 26 и  $30^\circ$ , энергия активации обмена  $E_A$ , предэкспоненциальные множители  $A$ . Там же даны константы расщепления  $a_N$  на атомах азота и полярографические потенциалы  $E_{1/2}$  одноэлектронного восстановления, отнесенные к насыщенному водному каломельному электроду (11). Величины  $a_N$  хорошо согласуются с найденными в (11, 12).

Из данных табл. 1 видно, что усиление акцепторной способности парагоместителя ускоряет обмен за счет как увеличения предэкспоненциального множителя, так и уменьшения энергии активации. Вместе с тем, как было раньше отмечено для других ароматических нитро-радикалов (7), чем выше  $a_N$ , т. е. чем большая доля плотности непарного электрона сосредоточена на нитрогруппе, тем медленнее идет обмен. Та же закономерность наблюдается при сопоставлении наших данных в ацетонитриле с данными из (7) в

диметилформамиде для обмена в нитробензоле  $K_{обм} = (3,0 \pm 0,2) \cdot 10^7$  л·моль<sup>-1</sup>·сек<sup>-1</sup>,  $a_N = 9,83$  эрст.

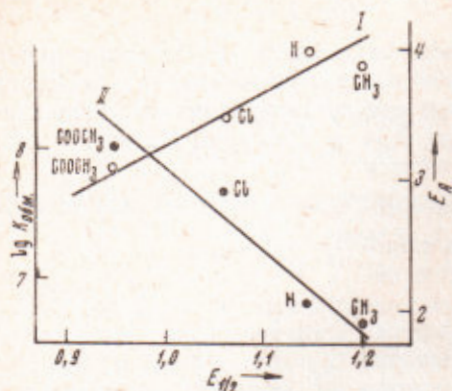


Рис. 2. Корреляция энергии  $E_A$  активации (I) и  $\lg K_{обм}$  (II) потенциалом полярографического восстановления  $E_{1/2}$ . I —  $E_A = (3,3 \pm 0,05)E_{1/2} + 0,04$ ; II —  $\lg K_{обм} = -(5,7 \pm 1,1)E_{1/2} + (13,5 \pm 0,25)$

и в 4-хлорнитробензоле  $K_{обм} = (7,9 \pm 0,2) \cdot 10^7$  л·моль<sup>-1</sup>·сек<sup>-1</sup>,  $a_N = 9,18$  эрст. Ацетонитрил более полярен, чем диметилформамид (14), а, согласно (15), увеличение полярности растворителя смешает плотность непарного электрона с бензольного кольца на нитрогруппу. Сопоставление этих данных позволяет сделать вывод, что обмен электрона происходит главным образом с бензольного кольца. Эти данные можно также объяснить преимущественным обменом электрона с нитрогруппой. Молекулы растворителя образуют комплексы с группой  $\text{NO}_2$  анион-радикала. Прочность этих комплексов уменьшается при понижении  $a_N$ , что и увеличивает скорость обмена. Наша датировка не позволяет сделать выбор между обеими механизмами.

Высота энергетического барьера перехода непарного электрона с анион-радикала на нерадикализованную молекулу зависит от ее электронного сродства. От него также зависит потенциал  $E_{1/2}$  однозарядного восстановления. В согласии с этим, как видно из рис. 2, имеется корреляция между  $\lg K_{обм}$  и  $E_{1/2}$ , а также между энергией активации  $E_A$  и  $E_{1/2}$ .

Институт физической химии  
им. Л. В. Писаржевского  
Академии наук УССР  
Киев

Поступило  
23 IX 1969

#### ЦИТИРОВАННАЯ ЛИТЕРАТУРА

- <sup>1</sup> P. J. Zandstra, S. I. Weissman, J. Am. Chem. Soc., 84, 4408 (1962).
- <sup>2</sup> R. Chang, Ch. S. Johnson, J. Am. Chem. Soc., 88, 2338 (1966).
- <sup>3</sup> G. K. Malinowski, W. N. Brunning, J. Am. Chem. Soc., 89, 5063 (1967).
- <sup>4</sup> E. de Boer, C. McLean, J. Chem. Phys., 44, 1334 (1966).
- <sup>5</sup> J. W. Eastman, G. M. Anderson, M. Calvin, Nature, 193, 1067 (1962).
- <sup>6</sup> T. Layloff, T. Miller et al., Nature, 205, 382 (1965).
- <sup>7</sup> P. A. Malachesky, T. A. Miller et al., Exchange Reaction, Intern. Atomic Energy agency, 1965, p. 157.
- <sup>8</sup> Ch. S. Johnson, Advances in Magnetic Resonance, Ed. J. S. Waugh, N. Y., London, 1, 1965, p. 88; Ch. S. Johnson, J. Chem. Phys., 39, 2111 (1963).
- <sup>9</sup> S. I. Weissman, Zs. Electrochem., 64, 47 (1960).
- <sup>10</sup> R. L. Ward, S. I. Weissman, J. Am. Chem. Soc., 76, 3612 (1954); 79, 2086 (1957).
- <sup>11</sup> A. H. Maki, D. H. Geske, J. Am. Chem. Soc., 83, 1852 (1961).
- <sup>12</sup> P. H. Rieger, G. R. Fraenkel, J. Chem. Phys., 39, 609 (1963).
- <sup>13</sup> J. E. Harriman, A. H. Maki, J. Chem. Phys., 39, 778 (1963).
- <sup>14</sup> A. Паркер, Усп. органической хим., 5, М., 1968, стр. 5.
- <sup>15</sup> J. Gendell, J. H. Freed, G. H. Fraenkel, J. Chem. Phys., 37, 2832 (1962).